

# Starkniederschlagshöhen und -spenden gemäß KOSTRA-DWD-2020

## Rasterfeld 80138

(Zeile 80, Spalte 138)

### Regenspende und Bemessungsniederschlagswerte in Abhängigkeit von Wiederkehrzeit T und Dauerstufe D

| Dauerstufe D |     | Wiederkehrzeit T |            |      |            |      |            |      |            |       |            |       |            |       |            |       |            |       |            |
|--------------|-----|------------------|------------|------|------------|------|------------|------|------------|-------|------------|-------|------------|-------|------------|-------|------------|-------|------------|
|              |     | 1 a              |            | 2 a  |            | 3 a  |            | 5 a  |            | 10 a  |            | 20 a  |            | 30 a  |            | 50 a  |            | 100 a |            |
| min          | Std | mm               | l / (s ha) | mm   | l / (s ha) | mm   | l / (s ha) | mm   | l / (s ha) | mm    | l / (s ha) | mm    | l / (s ha) | mm    | l / (s ha) | mm    | l / (s ha) | mm    | l / (s ha) |
| 5            |     | 5,8              | 193,3      | 7,0  | 233,3      | 7,7  | 256,7      | 8,7  | 290,0      | 10,1  | 336,7      | 11,6  | 386,7      | 12,6  | 420,0      | 13,8  | 460,0      | 15,6  | 520,0      |
| 10           |     | 7,5              | 125,0      | 9,0  | 150,0      | 10,0 | 166,7      | 11,3 | 188,3      | 13,1  | 218,3      | 15,0  | 250,0      | 16,2  | 270,0      | 17,9  | 298,3      | 20,2  | 336,7      |
| 15           |     | 8,6              | 95,6       | 10,4 | 115,6      | 11,5 | 127,8      | 12,9 | 143,3      | 15,0  | 166,7      | 17,2  | 191,1      | 18,6  | 206,7      | 20,5  | 227,8      | 23,2  | 257,8      |
| 20           |     | 9,4              | 78,3       | 11,4 | 95,0       | 12,6 | 105,0      | 14,2 | 118,3      | 16,5  | 137,5      | 18,9  | 157,5      | 20,5  | 170,8      | 22,5  | 187,5      | 25,4  | 211,7      |
| 30           |     | 10,7             | 59,4       | 12,9 | 71,7       | 14,3 | 79,4       | 16,1 | 89,4       | 18,7  | 103,9      | 21,5  | 119,4      | 23,2  | 128,9      | 25,5  | 141,7      | 28,9  | 160,6      |
| 45           |     | 12,1             | 44,8       | 14,6 | 54,1       | 16,2 | 60,0       | 18,2 | 67,4       | 21,2  | 78,5       | 24,3  | 90,0       | 26,3  | 97,4       | 28,9  | 107,0      | 32,7  | 121,1      |
| 60           | 1   | 13,1             | 36,4       | 15,9 | 44,2       | 17,6 | 48,9       | 19,9 | 55,3       | 23,1  | 64,2       | 26,4  | 73,3       | 28,6  | 79,4       | 31,5  | 87,5       | 35,6  | 98,9       |
| 90           | 1,5 | 14,8             | 27,4       | 17,9 | 33,1       | 19,9 | 36,9       | 22,4 | 41,5       | 26,0  | 48,1       | 29,8  | 55,2       | 32,3  | 59,8       | 35,5  | 65,7       | 40,1  | 74,3       |
| 120          | 2   | 16,1             | 22,4       | 19,5 | 27,1       | 21,6 | 30,0       | 24,4 | 33,9       | 28,3  | 39,3       | 32,4  | 45,0       | 35,1  | 48,8       | 38,6  | 53,6       | 43,7  | 60,7       |
| 180          | 3   | 18,1             | 16,8       | 21,9 | 20,3       | 24,3 | 22,5       | 27,4 | 25,4       | 31,9  | 29,5       | 36,5  | 33,8       | 39,5  | 36,6       | 43,5  | 40,3       | 49,1  | 45,5       |
| 240          | 4   | 19,7             | 13,7       | 23,8 | 16,5       | 26,4 | 18,3       | 29,8 | 20,7       | 34,6  | 24,0       | 39,6  | 27,5       | 42,9  | 29,8       | 47,2  | 32,8       | 53,4  | 37,1       |
| 360          | 6   | 22,1             | 10,2       | 26,8 | 12,4       | 29,7 | 13,8       | 33,5 | 15,5       | 38,9  | 18,0       | 44,6  | 20,6       | 48,3  | 22,4       | 53,1  | 24,6       | 60,0  | 27,8       |
| 540          | 9   | 24,9             | 7,7        | 30,1 | 9,3        | 33,4 | 10,3       | 37,6 | 11,6       | 43,8  | 13,5       | 50,1  | 15,5       | 54,2  | 16,7       | 59,6  | 18,4       | 67,4  | 20,8       |
| 720          | 12  | 27,0             | 6,3        | 32,7 | 7,6        | 36,2 | 8,4        | 40,9 | 9,5        | 47,5  | 11,0       | 54,4  | 12,6       | 58,9  | 13,6       | 64,8  | 15,0       | 73,2  | 16,9       |
| 1080         | 18  | 30,4             | 4,7        | 36,7 | 5,7        | 40,7 | 6,3        | 45,9 | 7,1        | 53,4  | 8,2        | 61,1  | 9,4        | 66,1  | 10,2       | 72,8  | 11,2       | 82,2  | 12,7       |
| 1440         | 24  | 33,0             | 3,8        | 39,9 | 4,6        | 44,2 | 5,1        | 49,8 | 5,8        | 58,0  | 6,7        | 66,3  | 7,7        | 71,8  | 8,3        | 79,0  | 9,1        | 89,3  | 10,3       |
| 2880         | 48  | 40,2             | 2,3        | 48,7 | 2,8        | 53,9 | 3,1        | 60,8 | 3,5        | 70,7  | 4,1        | 80,9  | 4,7        | 87,6  | 5,1        | 96,4  | 5,6        | 108,9 | 6,3        |
| 4320         | 72  | 45,2             | 1,7        | 54,7 | 2,1        | 60,5 | 2,3        | 68,3 | 2,6        | 79,4  | 3,1        | 90,9  | 3,5        | 98,4  | 3,8        | 108,2 | 4,2        | 122,3 | 4,7        |
| 5760         | 96  | 49,0             | 1,4        | 59,3 | 1,7        | 65,7 | 1,9        | 74,1 | 2,1        | 86,2  | 2,5        | 98,6  | 2,9        | 106,8 | 3,1        | 117,5 | 3,4        | 132,8 | 3,8        |
| 7200         | 120 | 52,3             | 1,2        | 63,2 | 1,5        | 70,1 | 1,6        | 79,0 | 1,8        | 91,9  | 2,1        | 105,1 | 2,4        | 113,8 | 2,6        | 125,2 | 2,9        | 141,6 | 3,3        |
| 8640         | 144 | 55,1             | 1,1        | 66,6 | 1,3        | 73,8 | 1,4        | 83,2 | 1,6        | 96,8  | 1,9        | 110,8 | 2,1        | 119,9 | 2,3        | 131,9 | 2,5        | 149,1 | 2,9        |
| 10080        | 168 | 57,5             | 1,0        | 69,6 | 1,2        | 77,1 | 1,3        | 87,0 | 1,4        | 101,1 | 1,7        | 115,8 | 1,9        | 125,3 | 2,1        | 137,9 | 2,3        | 155,9 | 2,6        |

# Starkniederschlagshöhen und -spenden gemäß KOSTRA-DWD-2020

## Rasterfeld 80138

(Zeile 80, Spalte 138)

### Örtliche Unsicherheiten in Abhängigkeit von Wiederkehrzeit T und Dauerstufe D

| Dauerstufe D |     | Wiederkehrzeit T |     |     |     |      |      |      |      |       |
|--------------|-----|------------------|-----|-----|-----|------|------|------|------|-------|
|              |     | 1 a              | 2 a | 3 a | 5 a | 10 a | 20 a | 30 a | 50 a | 100 a |
| min          | Std | ± %              | ± % | ± % | ± % | ± %  | ± %  | ± %  | ± %  | ± %   |
| 5            |     | 13               | 14  | 14  | 15  | 16   | 16   | 17   | 17   | 18    |
| 10           |     | 14               | 16  | 17  | 18  | 19   | 20   | 20   | 21   | 22    |
| 15           |     | 15               | 17  | 18  | 19  | 20   | 21   | 22   | 22   | 23    |
| 20           |     | 15               | 17  | 18  | 20  | 21   | 22   | 22   | 23   | 24    |
| 30           |     | 15               | 18  | 19  | 20  | 21   | 22   | 23   | 23   | 24    |
| 45           |     | 15               | 17  | 18  | 19  | 21   | 22   | 22   | 23   | 24    |
| 60           | 1   | 14               | 16  | 18  | 19  | 20   | 21   | 22   | 22   | 23    |
| 90           | 1,5 | 13               | 15  | 16  | 18  | 19   | 20   | 21   | 21   | 22    |
| 120          | 2   | 12               | 14  | 15  | 17  | 18   | 19   | 20   | 20   | 21    |
| 180          | 3   | 11               | 13  | 14  | 15  | 17   | 18   | 18   | 19   | 19    |
| 240          | 4   | 11               | 12  | 13  | 14  | 16   | 17   | 17   | 18   | 18    |
| 360          | 6   | 10               | 11  | 12  | 13  | 14   | 15   | 16   | 16   | 17    |
| 540          | 9   | 10               | 11  | 12  | 12  | 13   | 14   | 15   | 15   | 16    |
| 720          | 12  | 10               | 11  | 11  | 12  | 13   | 14   | 14   | 14   | 15    |
| 1080         | 18  | 11               | 11  | 11  | 12  | 12   | 13   | 13   | 14   | 14    |
| 1440         | 24  | 12               | 11  | 11  | 12  | 12   | 13   | 13   | 13   | 14    |
| 2880         | 48  | 15               | 13  | 13  | 13  | 13   | 13   | 13   | 13   | 14    |
| 4320         | 72  | 16               | 15  | 15  | 14  | 14   | 14   | 14   | 14   | 14    |
| 5760         | 96  | 18               | 16  | 16  | 15  | 15   | 15   | 15   | 15   | 15    |
| 7200         | 120 | 19               | 17  | 17  | 16  | 16   | 16   | 16   | 15   | 15    |
| 8640         | 144 | 20               | 18  | 18  | 17  | 17   | 16   | 16   | 16   | 16    |
| 10080        | 168 | 21               | 19  | 18  | 18  | 17   | 17   | 17   | 17   | 17    |

### Parameter für abweichende T und D

#### Lokationsparameter $\xi$ (Xi)

13,30294145

#### Skalenparameter $\alpha$ (Alpha)

3,88808979

#### Formparameter $\kappa$ (Kappa)

-0,1

#### 1. Koutsoyiannis-Parameter $\theta$ (Theta)

0,01603627

#### 2. Koutsoyiannis-Parameter $\eta$ (Eta)

0,7140558

Parameter für dauerstufenübergreifende Extremwertschätzung nach KOUTSOYIANNIS et al. 1998.

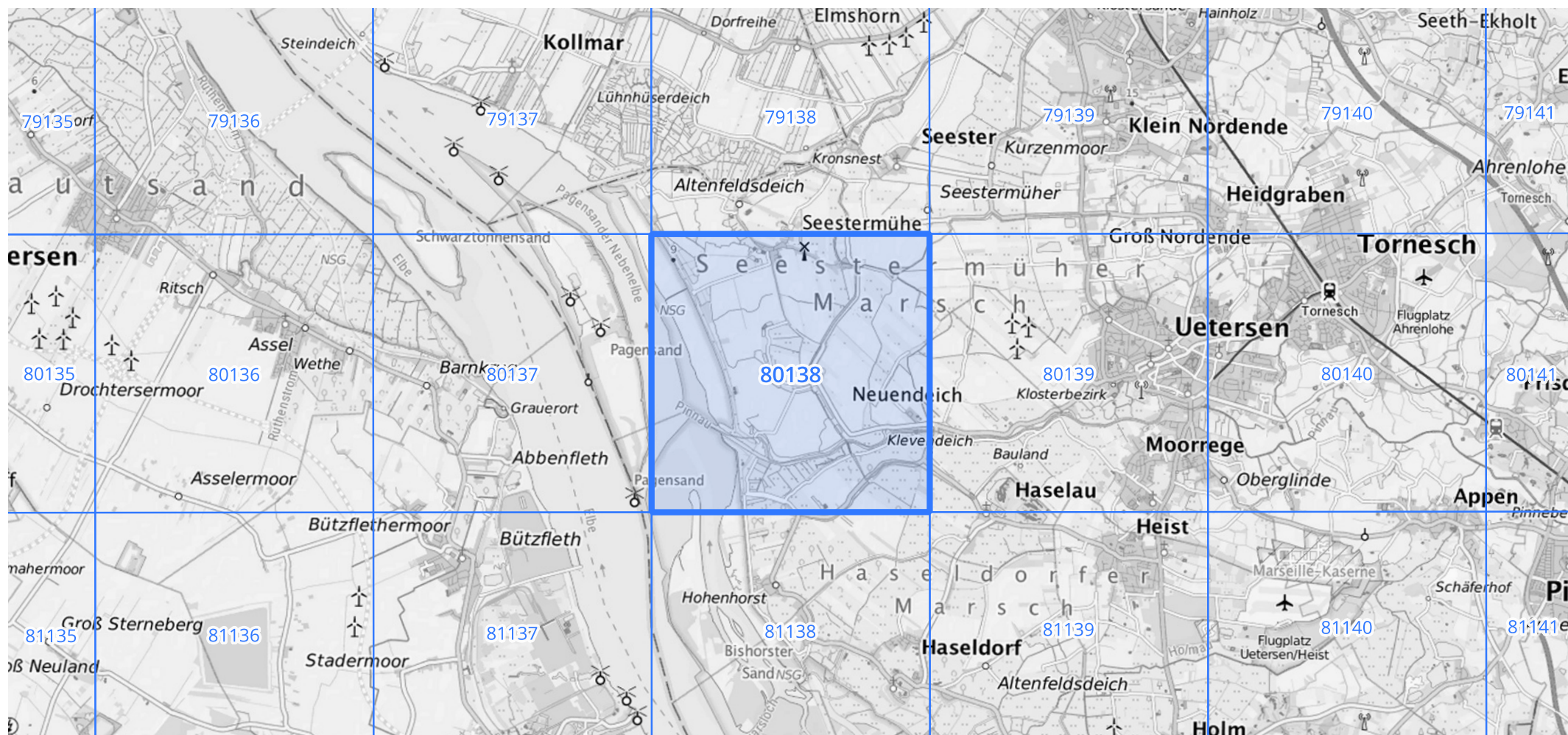
Siehe auch Anwendungshilfe zu KOSTRA-DWD-2020 des Deutschen Wetterdienstes.

# Starkniederschlagshöhen und -spenden gemäß KOSTRA-DWD-2020

## Rasterfeld 80138

(Zeile 80, Spalte 138)

Übersichtskarte des Rasterfeldes 80138, M 1 : 100 000



Quelle Rasterdaten: KOSTRA-DWD-2020 des Deutschen Wetterdienstes, Stand 12/2022.

Seite 3 von 3

Kartendarstellung: © Bundesamt für Kartographie und Geodäsie (2023), Datenquellen: [https://sgx.geodatenzentrum.de/web\\_public/gdz/datenquellen/Datenquellen\\_TopPlusOpen.html](https://sgx.geodatenzentrum.de/web_public/gdz/datenquellen/Datenquellen_TopPlusOpen.html)

Für die Richtigkeit und Aktualität der Angaben wird keine Gewähr übernommen. Erstellt 01/2023.